

Таким образом, существование плато и его ширину у функции $\sigma_{yx}(1/\kappa)$ можно объяснить поведением функции N_e , определяющей полное число электронов на площади L^2 в квантующем (движение электронов) магнитном поле при низких температурах.

ЛИТЕРАТУРА

[1] Халилов В. Р. Электроны в сильном магнитном поле. М., 1988. [2] Халилов В. Р. // Изв. вузов, Физика. 1990. № 1. С. 101.

Поступила в редакцию
03.10.90

ВЕСТН. МОСК. УН-ТА. СЕР. 3, ФИЗИКА. АСТРОНОМИЯ. 1991. Т. 32, № 2

УДК 535.3

ВОЗМОЖНОСТИ УПРАВЛЕНИЯ ПАРАМЕТРАМИ ДВУХКОМПОНЕНТНЫХ ОПТИЧЕСКИХ СОЛИТОНОВ

В. А. Выслоух, Е. А. Коломийцева, А. Н. Матвеев

(кафедра общей физики для физического факультета)

Проведено аналитическое и численное исследование возможностей управления амплитудой, длительностью и частотой двухкомпонентных оптических солитонов, формирующихся в двухмодовых волоконных световодах.

Интерес к исследованию динамики формирования и взаимодействия оптических солитонов обусловлен возможностями их использования как носителей информации в системах волоконно-оптической связи, а также как идеальных пробных импульсов в спектроскопии сверхбыстрых процессов [1]. Для этих приложений большое значение имеет разработка методов управления параметрами оптических солитонов: амплитудой, длительностью, частотой. Один из методов управления основан на смещении солитонного импульса со сдвинутым по частоте управляющим импульсом. В результате их взаимодействия, обусловленного нелинейной добавкой к показателю преломления, параметры солитона изменяются. Эффективность такого подхода была ранее продемонстрирована применительно к одномодовому волоконному световоду [2].

В настоящей работе объектом исследования является двухмодовый световод, в котором возможно формирование двухкомпонентных солитонов [3]. Использование двухмодовых световодов открывает дополнительные возможности для управления параметрами, так как солитонный и управляющий импульсы могут распространяться в различных (ортогональных в линейном приближении) модах. Анализ этих возможностей составляет предмет нашей работы.

Математической моделью рассматриваемого процесса служит задача Коши для векторного нелинейного уравнения Шрёдингера:

$$\begin{aligned} i \frac{\partial \Psi_1}{\partial z} &= \frac{1}{2} \frac{\partial^2 \Psi_1}{\partial \tau^2} + (|\Psi_1|^2 + \gamma |\Psi_2|^2) \Psi_1, \\ i \frac{\partial \Psi_2}{\partial z} &= \frac{1}{2} \frac{\partial^2 \Psi_2}{\partial \tau^2} + (\gamma |\Psi_1|^2 + |\Psi_2|^2) \Psi_2. \end{aligned} \quad (1)$$

Этим уравнениям удовлетворяют комплексные амплитуды временных огибающих в первой и во второй модах: Ψ_1 и Ψ_2 [3]. Переменная z — это расстояние, пройденное импульсами по световоду и выраженное в дисперсионных длинах, τ — нормированное на начальную длительность «бегущее» время. Уравнения (1) описывают дисперсионное распыливание импульсов, а также эффекты фазовой само- и кросс-модуляции. Коэффициент $\gamma \sim 1$ перед кросс-модуляционным членом пропорционален интегралам перекрытия волноводных мод [1].

В качестве начальных данных рассмотрим суперпозицию солитонного и управляющего импульсов:

$$\Psi(0, \tau) = \Psi_s(0, \tau) + \delta\Psi(0, \tau), \quad (2)$$

где

$$\Psi_s(z, \tau) = (c_1, c_2)^{tr} \kappa \text{ch}^{-1}[\kappa(\tau - Vz)] \exp\{-iV\tau + i(V^2 - \kappa^2)z/2\},$$

$$|c_1|^2 + |c_2|^2 = 1,$$

κ — форм-фактор, V — скорость (в принятой нормировке V — безразмерная частота) солитона; c_1, c_2 — коэффициенты распределения по модам. Если амплитуда управляющего импульса $\delta\Psi$ мала, то для вычисления приращений формфактора $\delta\kappa$ и скорости δV сформировавшегося при $z \rightarrow \infty$ солитона можно воспользоваться теорией возмущений, базирующейся на аппарате обратной задачи рассеяния. В работе [3] получены интегральные формулы, выражающие вариации солитонных параметров через возмущения начальных данных:

$$\delta\Lambda = \delta V + i\delta\kappa = \sum_{j=1}^2 \int_{-\infty}^{\infty} \left[\frac{\delta\Lambda}{\delta\Psi_j}(x) \delta\Psi_j(x) + \frac{\delta\Lambda}{\delta\Psi_j^*}(x) \delta\Psi_j^*(x) \right] dx, \quad (3)$$

где вариационные производные выражаются следующим образом:

$$\frac{\delta\Lambda}{\delta\Psi_j}(x) = i \frac{\kappa}{2} c_j^* \exp(iV\tau - \kappa\tau) \text{ch}^{-2}(\kappa x),$$

$$\frac{\delta\Lambda}{\delta\Psi_j^*}(x) = i \frac{\kappa}{2} c_j \exp(-iV\tau + \kappa\tau) \text{ch}^{-2}(\kappa x).$$

Рассмотрим возмущения вида

$$\delta\Psi(0, \tau) = (\rho_1, \rho_2)^{tr} \text{ch}^{-1}(\kappa\tau) \exp(i\rho\tau),$$

$$|\rho_1|^2 + |\rho_2|^2 = \rho_0^2,$$

где ρ_0 — амплитуда, ρ — безразмерный сдвиг частоты, ρ_1, ρ_2 — коэффициенты распределения возмущения по модам.

В случае, когда солитон и управляющий импульс (возмущение) распространяются в одной моде ($c_2=0, \rho_2=0$), возникает ситуация, полностью аналогичная случаю одномодового световода [2]. Если же солитонная составляющая сосредоточена в первой моде ($c_1=1, c_2=0$), а управляющий импульс во второй ($\rho_1=0, \rho_2=\rho_0$), то из формул (3) следует, что в первом порядке теории возмущений параметры солитона не изменяются. В этой ситуации для расчета приращений δV и $\delta\kappa$ мы воспользовались компьютерными процедурами вычисления данных рассеяния, описанными в [3].

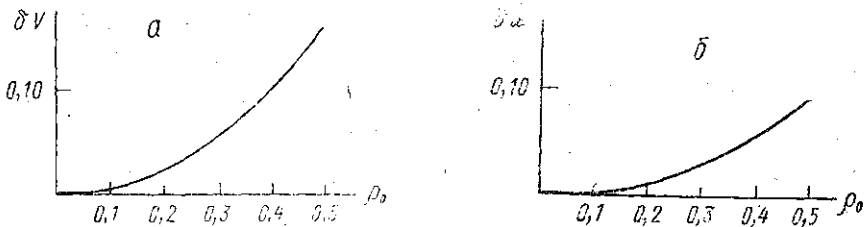


Рис. 1

На рис. 1 изображены зависимости приращений δV (а) и $\delta\kappa$ (б) от амплитуды управляющего импульса ρ_0 при фиксированном сдвиге частоты $\rho=1,2$. Видно, что при $\rho_0 \ll 1$ эти приращения увеличиваются пропорционально ρ_0^2 . Рисунок 2 иллюстрирует зависимость δV (а) и $\delta\kappa$ (б) от сдвига частоты ρ . Приращение формфактора максимально при $\rho=0$ и монотонно убывает с ростом ρ . Зависимость же приращения скорости имеет четко выраженный максимум при $\rho=\rho_m \approx 1,2$. Расчетное значение ρ_m практически не зависит от амплитуды возмущения ρ_0 , причем $\delta V_{\max}/\rho_0^2 \approx 0,65$. Заметим, что частота ρ_m практически совпадает с вычисленной по линейной теории модуляционной устойчивости частотой возмущения, нарастающего по z с максимальным инкрементом [4]. Переход к размерному сдвигу частоты осуществляется простым делением δV_{\max} на начальную длительность солитона τ_0 и при $\tau_0 = 1$ нс приводит к значению 155 Гц.

Анализ динамики формирования солитона с измененными параметрами проводился путем прямого численного интегрирования уравнений (1). На рис. 3 представлено изменение формы односолитонного импульса под действием управляющего ($\rho_0=0,5$, $p=0,6$). На вставках приведены зависимости вариации текущей скорости δV и амплитуды $\delta|\Psi_{\max}|$ от z . Видно, что скорость солитона на больших расстояниях стремится к асимптотическому значению $V_{as}\approx 0,10$, амплитуда — к $|\Psi_{\max}| \approx 1,085$, формфактор — к $\kappa_{as}\approx 1,25$. Процесс стабилизации носит характер затухающих колебаний. Заметим, что асимптотические значения, вычисленные прямым интегрированием (1) и методом обратной задачи рассеяния, практически совпадают.

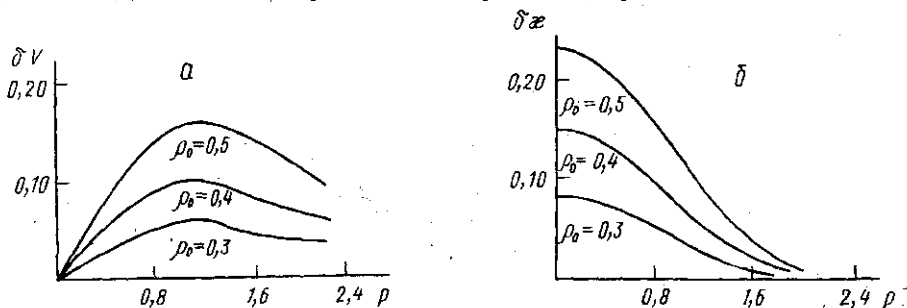


Рис. 2

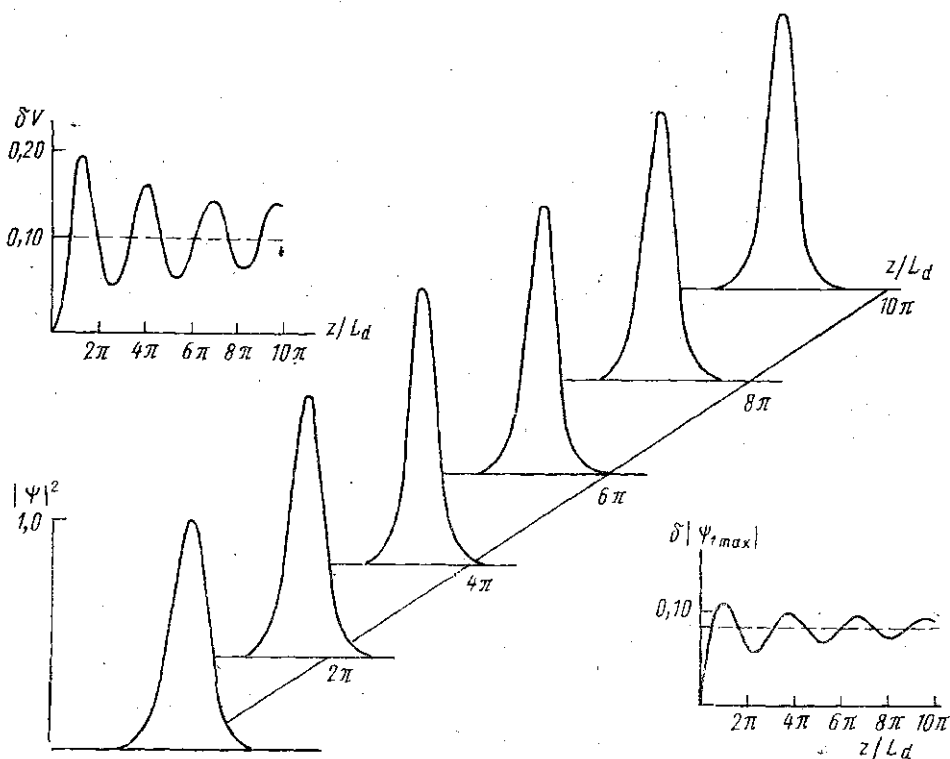


Рис. 3

Подводя итоги, отметим, что управление по ортогональной моде позволяет контролируемым образом изменять несущую частоту солитона в пределах сотен гигагерц, а амплитуду — в пределах десятков процентов. Практическое преимущество такого подхода состоит в том, что управляющий импульс на выходе световода можно отделить от солитонного методами пространственной фильтрации.

[1] Ахмаинов С. А., Выслоух В. А., Чиркин А. С. Оптика фемтосекундных лазерных импульсов. М., 1988. [2] Выслоух В. А., Иванов А. В., Чередник И. В. //Изв. АН СССР, сер. физ. 1989. 53, № 8. С. 1514. [3] Выслоух В. А., Чередник И. В. //ДАН СССР. 1990. 312, № 3. С. 588. [4] Agrawal G. P. Nonlinear Fiber Optics. N. Y., 1989.

Поступила в редакцию
02.10.90

ВЕСТН. МОСК. УН-ТА. СЕР. 3, ФИЗИКА. АСТРОНОМИЯ. 1991. Т. 32, № 2

АТОМНАЯ И ЯДЕРНАЯ ФИЗИКА

УДК 539.172

СОХРАНЕНИЕ АРОМАТА В НЕЙТРАЛЬНЫХ СЛАБЫХ ТОКАХ И СПИНОВАЯ СТРУКТУРА ПРОТОНА

З. Р. Бабаев*, Л. Жельми, В. С. Замиралов, С. Н. Лепшоков

(НИИЯФ)

Показано, что использование групп $SU(4)$ и $SU(6)$ при анализе нейтральных аксиально-векторных pp -переходов существенно меняет соотношение между синглетной и несинглетной частями правила сумм Эллиса—Джаффе и отчасти помогает решить проблему «спинового кризиса».

Эксперименты Европейской мюонной коллаборации (EMC) по измерению асимметрии продольной поляризации в глубоководном рассеянии поляризованных мюонов на поляризованных протонах [1]

$$A = \frac{\mu \uparrow p \downarrow - \mu \uparrow p \uparrow}{\mu \uparrow p \downarrow + \mu \uparrow p \uparrow} \quad (1)$$

выявили серьезное расхождение между правой и левой частями правила сумм Эллиса—Джаффе [2]:

$$I(Q^2) = \int_0^1 dx \cdot g_1^p(x, Q^2) = \frac{1}{2} \left(F - \frac{1}{9} D \right). \quad (2)$$

Левая часть (2) вычисляется из экспериментальных значений A и равна $0,126 \pm 0,010 \pm 0,015$, а правая — с помощью данных по лептонным распадам гиперонов [3] ($F = 0,477 \pm 0,011$, $D = 0,755 \pm 0,011$) и равна $0,196 \pm 0,06$. Напомним, что формула (2) получена в формализме алгебры токов на световом конусе, причем правая часть (2) представляет собой вклад комбинации аксиально-векторных токов группы $SU(3)$:

$$\frac{1}{12} \left[\left(A_3^u + \frac{1}{\sqrt{3}} A_8^u \right)_{NS} + \frac{4}{3} (2\sqrt{3} A_0)_S^u \right] \quad (3)$$

в слабый pp -переход. Здесь несинглетные токи (NS)

$$A_{3,8}^u = (D + F) \bar{B}_{\eta}^{\beta} (\Lambda_{3,8})_{\eta}^{\beta} \gamma^{\mu} \gamma^5 B_{\alpha}^{\eta} + (D - F) \bar{B}_{\eta}^{\beta} (\Lambda_{3,8})_{\beta}^{\alpha} \gamma^{\mu} \gamma^5 B_{\alpha}^{\eta},$$

$$\alpha, \beta, \eta = 1, 2, 3; \quad B_3^1 = p,$$

$\Lambda_{3,8}$ — матрицы Гелл-Манна, а синглетный (S) ток

$$A_0^u = D_0 \bar{B}_{\beta}^{\alpha} \gamma^{\mu} \gamma^5 B_{\alpha}^{\beta}.$$

* ИФВЭ (Протвино).